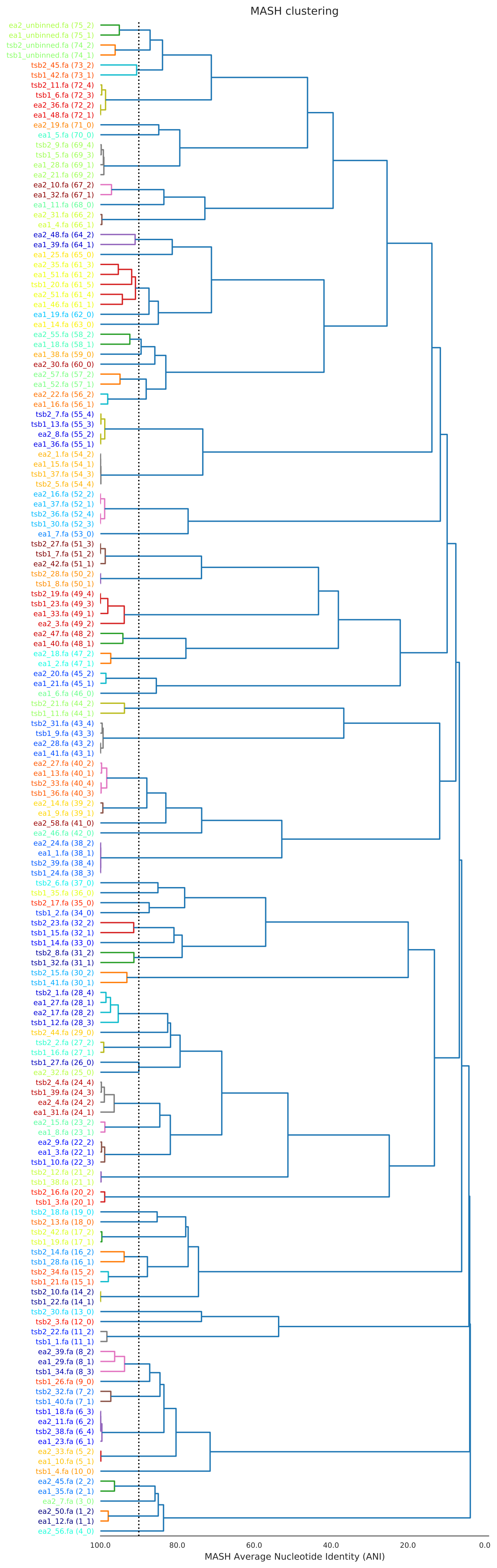
MASH clustering
ea2_unbinned.fa (75_2)
ea1_unbinned.fa (75_1)
tsb2_unbinned.fa (74_2)
tsb1_unbinned.fa (74_1)
tsb2_45.fa (73_2)
tsb1_42.fa (73_1)
tsb2_11.fa (72_4)
tsb1_6.fa (72_3)
ea2_36.fa (72_2)
ea1_48.fa (72_1)
ea2_19.fa (71_0)
ea1_5.fa (70_0)
tsb2_9.fa (69_4)
tsb1_5.fa (69_3)
ea1_28.fa (69_1)
ea2_21.fa (69_2)
ea2_10.fa (67_2)
ea1_32.fa (67_1)
ea1_11.fa (68_0)
ea2_31.fa (66_2)
ea1_4.fa (66_1)
ea2_48.fa (64_2)
ea1_39.fa (64_1)
ea1_25.fa (65_0)
ea2_35.fa (61_3)
ea1_51.fa (61_2)
tsb1_20.fa (61_5)
ea2_51.fa (61_4)
ea1_46.fa (61_1)
ea1_19.fa (62_0)
ea1_14.fa (63_0)
ea2_55.fa (58_2)
ea1_18.fa (58_1)
ea1_38.fa (59_0)
ea2_30.fa (60_0)
ea2_57.fa (57_2)
ea1_52.fa (57_1)
ea2_22.fa (56_2)
ea1_16.fa (56_1)
tsb2_7.fa (55_4)
tsb1_13.fa (55_3)
ea2_8.fa (55_2)
ea1_36.fa (55_1)
ea2_1.fa (54_2)
ea1_15.fa (54_1)
tsb1_37.fa (54_3)
tsb2_5.fa (54_4)
ea2_16.fa (52_2)
ea1_37.fa (52_1)
tsb2_36.fa (52_4)
tsb1_30.fa (52_3)
ea1_7.fa (53_0)
tsb2_27.fa (51_3)
tsb1_7.fa (51_2)
ea2_42.fa (51_1)
tsb2_28.fa (50_2)
tsb1_8.fa (50_1)
tsb2_19.fa (49_4)
tsb1_23.fa (49_3)
ea1_33.fa (49_1)
ea2_3.fa (49_2)
ea2_47.fa (48_2)
ea1_40.fa (48_1)
ea2_18.fa (47_2)
ea1_2.fa (47_1)
ea2_20.fa (45_2)
ea1_21.fa (45_1)
ea1_6.fa (46_0)
tsb2_21.fa (44_2)
tsb1_11.fa (44_1)
tsb2_31.fa (43_4)
tsb1_9.fa (43_3)
ea2_28.fa (43_2)
ea1_41.fa (43_1)
ea2_27.fa (40_2)
ea1_13.fa (40_1)
tsb2_33.fa (40_4)
tsb1_36.fa (40_3)
ea2_14.fa (39_2)
ea1_9.fa (39_1)
ea2_58.fa (41_0)
ea2_46.fa (42_0)
ea2_24.fa (38_2)
ea1_1.fa (38_1)
tsb2_39.fa (38_4)
tsb1_24.fa (38_3)
tsb2_6.fa (37_0)
tsb1_35.fa (36_0)
tsb2_17.fa (35_0)
tsb1_2.fa (34_0)
tsb2_23.fa (32_2)
tsb1_15.fa (32_1)
tsb1_14.fa (33_0)
tsb2_8.fa (31_2)
tsb1_32.fa (31_1)
tsb2_15.fa (30_2)
tsb1_41.fa (30_1)
tsb2_1.fa (28_4)
ea1_27.fa (28_1)
ea2_17.fa (28_2)
tsb1_12.fa (28_3)
tsb2_44.fa (29_0)
tsb2_2.fa (27_2)
tsb1_16.fa (27_1)
tsb1_27.fa (26_0)
ea2_32.fa (25_0)
tsb2_4.fa (24_4)
tsb1_39.fa (24_3)
ea2_4.fa (24_2)
ea1_31.fa (24_1)
ea2_15.fa (23_2)
ea1_8.fa (23_1)
ea2_9.fa (22_2)
ea1_3.fa (22_1)
tsb1_10.fa (22_3)
tsb2_12.fa (21_2)
tsb1_38.fa (21_1)
tsb2_16.fa (20_2)
tsb1_3.fa (20_1)
tsb2_18.fa (19_0)
tsb2_13.fa (18_0)
tsb2_42.fa (17_2)
tsb1_19.fa (17_1)
tsb2_14.fa (16_2)
tsb1_28.fa (16_1)
tsb2_34.fa (15_2)
tsb1_21.fa (15_1)
tsb2_10.fa (14_2)
tsb1_22.fa (14_1)
tsb2_30.fa (13_0)
tsb2_3.fa (12_0)
tsb2_22.fa (11_2)
tsb1_1.fa (11_1)
ea2_39.fa (8_2)
ea1_29.fa (8_1)
tsb1_34.fa (8_3)
tsb1_26.fa (9_0)
tsb2_32.fa (7_2)
tsb1_40.fa (7_1)
tsb1_18.fa (6_3)
ea2_11.fa (6_2)
tsb2_38.fa (6_4)
ea1_23.fa (6_1)
ea2_33.fa (5_2)
ea1_10.fa (5_1)
tsb1_4.fa (10_0)
ea2_45.fa (2_2)
ea1_35.fa (2_1)
ea2_7.fa (3_0)
ea2_50.fa (1_2)
ea1_12.fa (1_1)
ea2_56.fa (4_0)
100.0
80.0
60.0
40.0
20.0
0.0
MASH Average Nucleotide Identity (ANI)